

Fig. 1

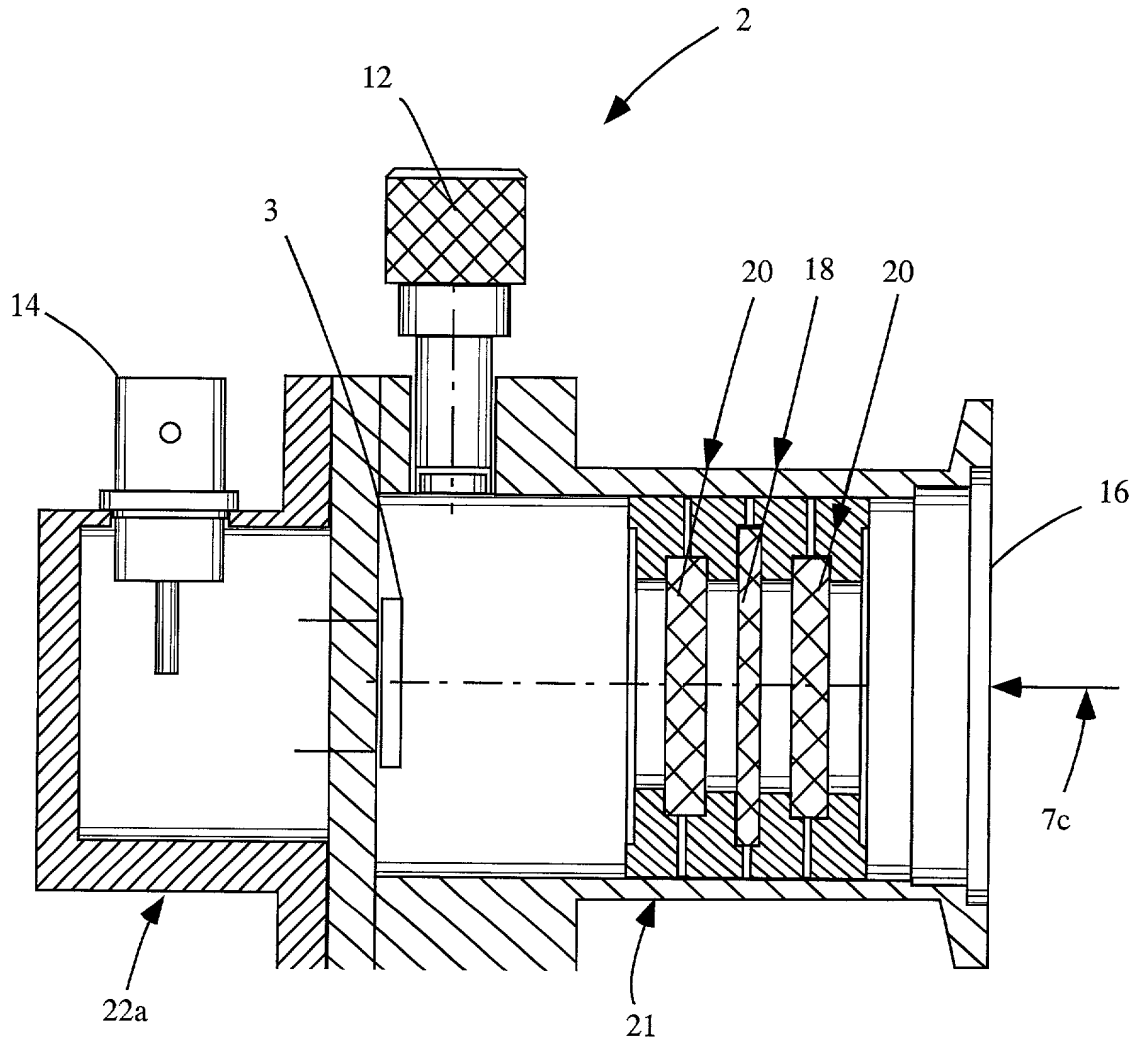


Fig. 2

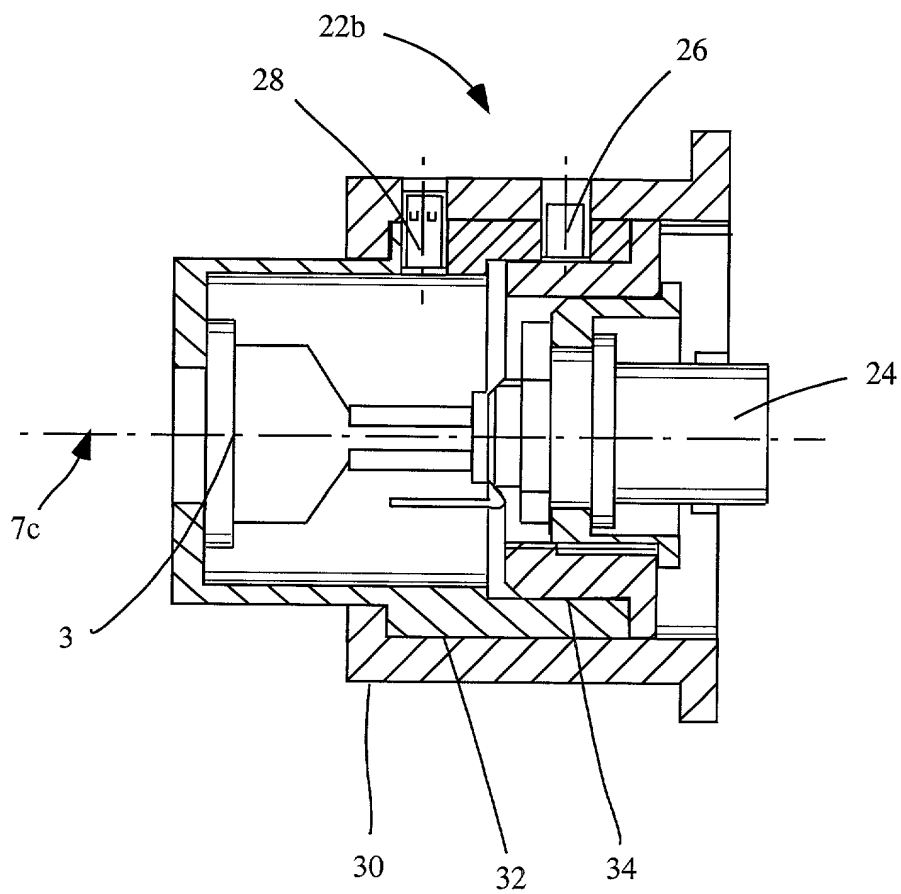


Fig.3

Detector Stability

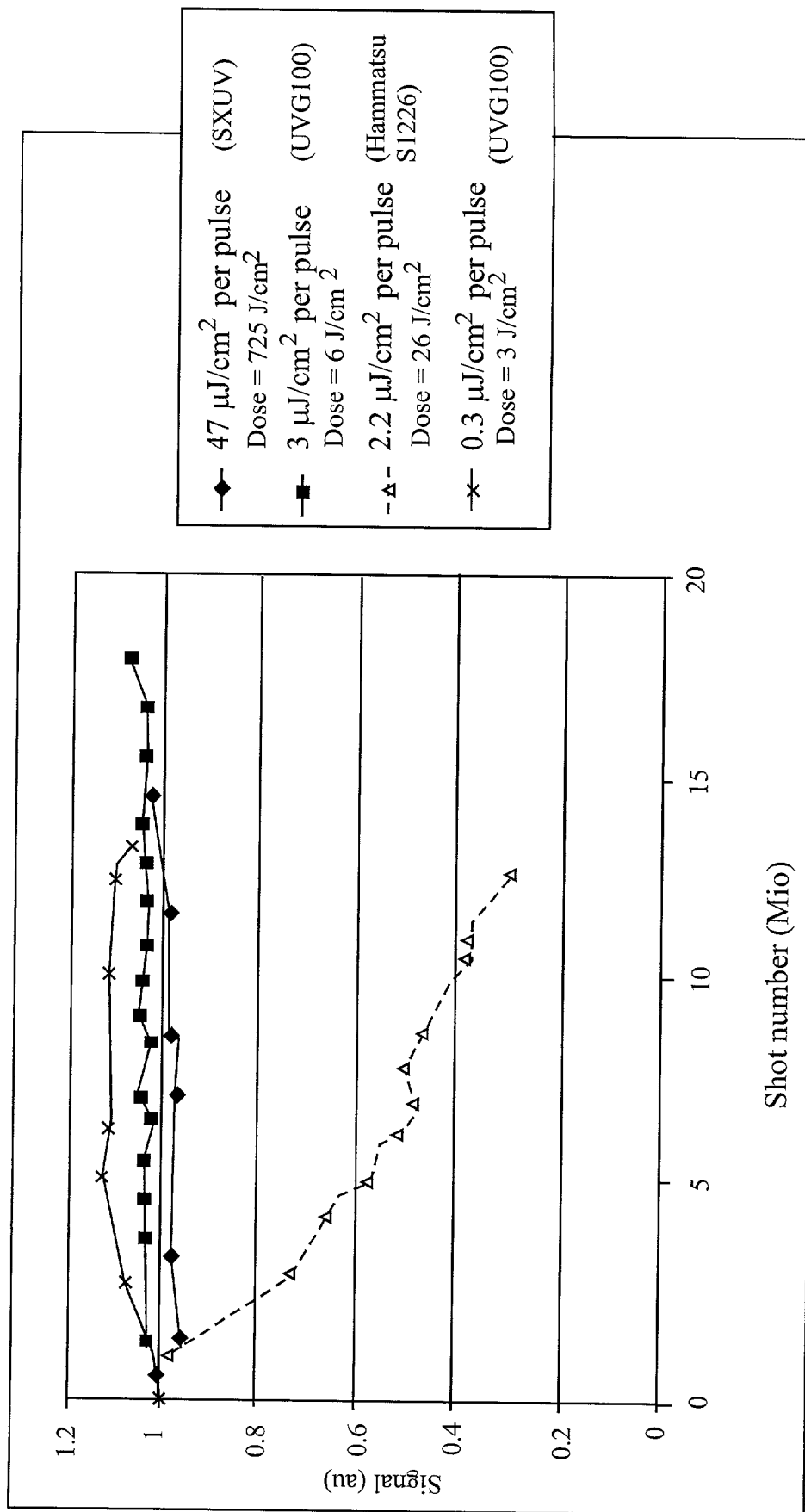


Fig. 4A

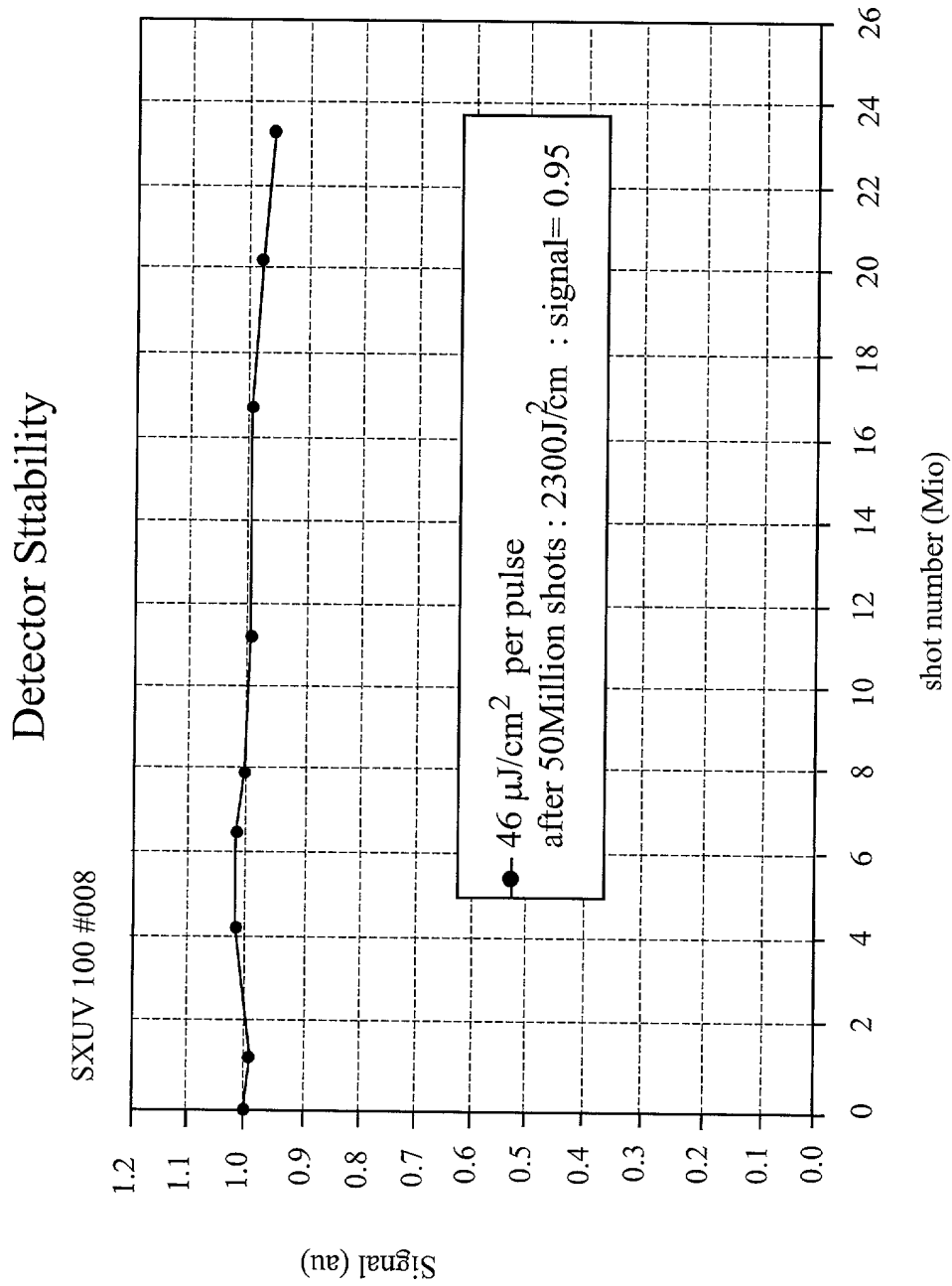


Fig. 4B

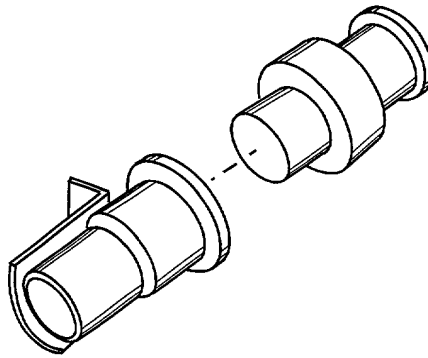


Fig. 5

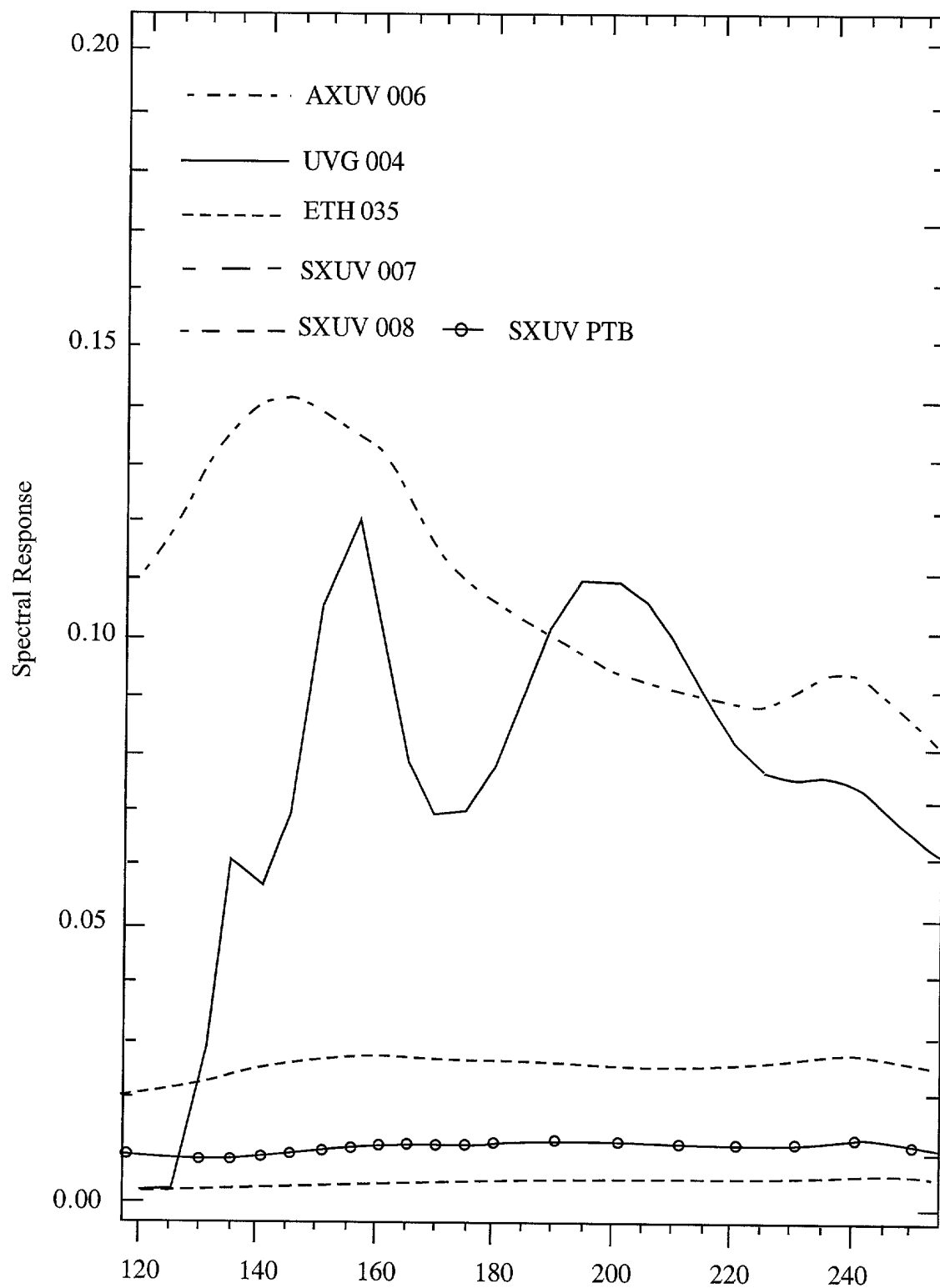


Fig. 6

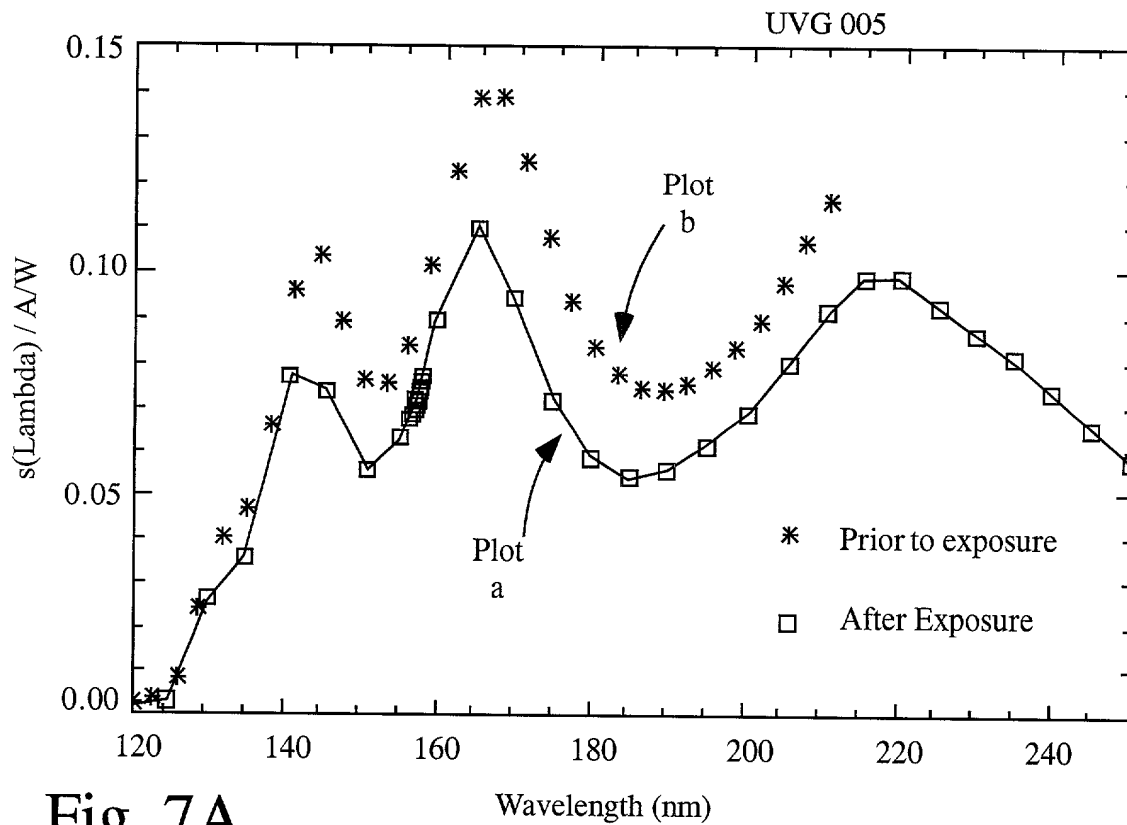


Fig. 7A

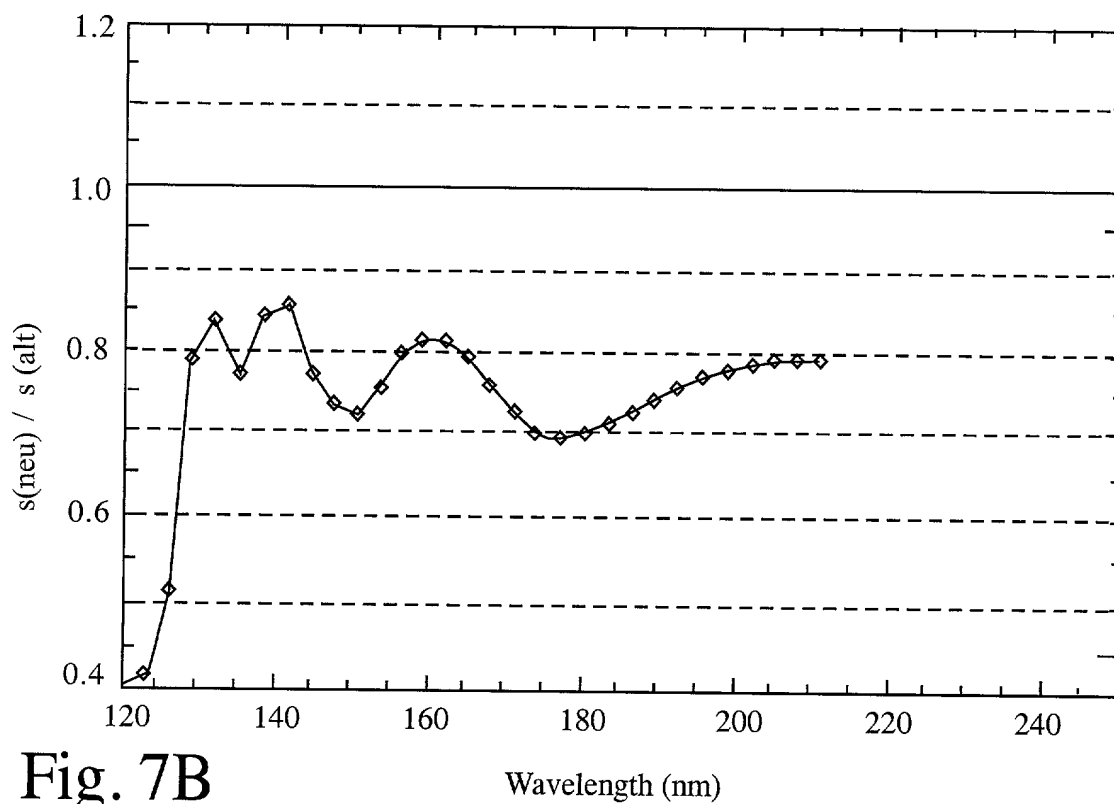


Fig. 7B

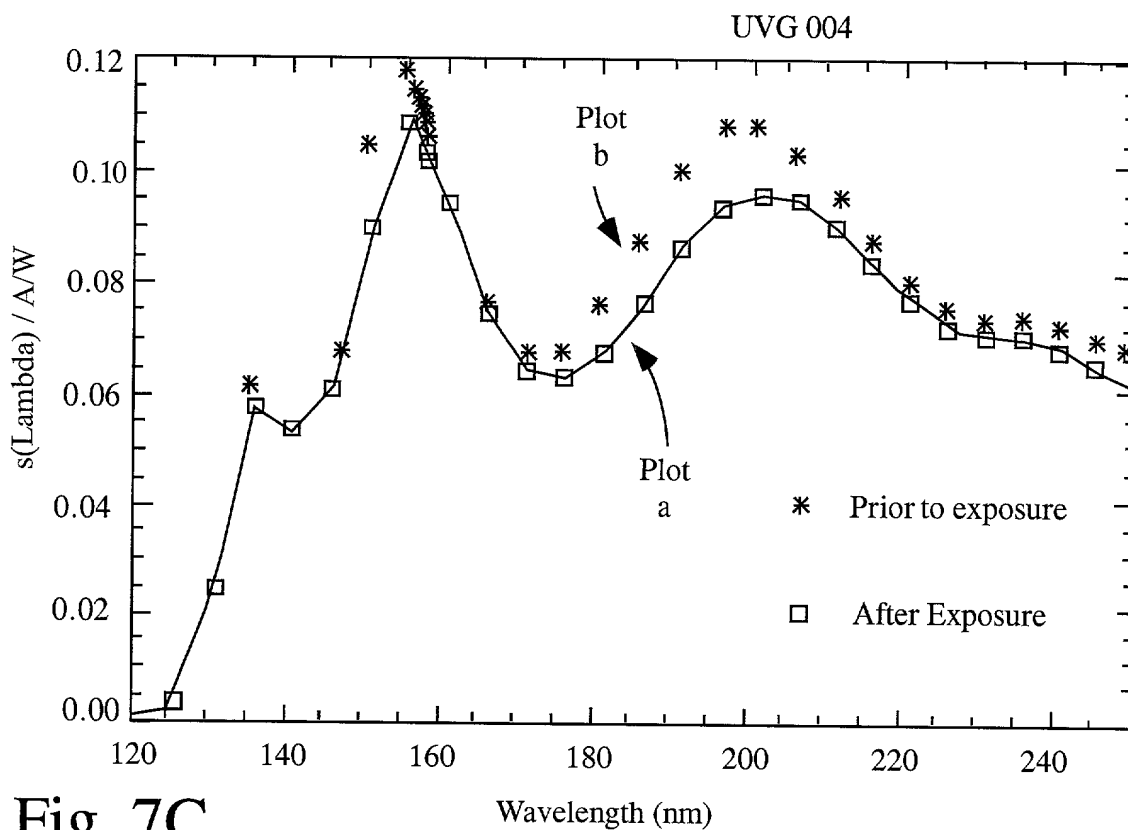


Fig. 7C

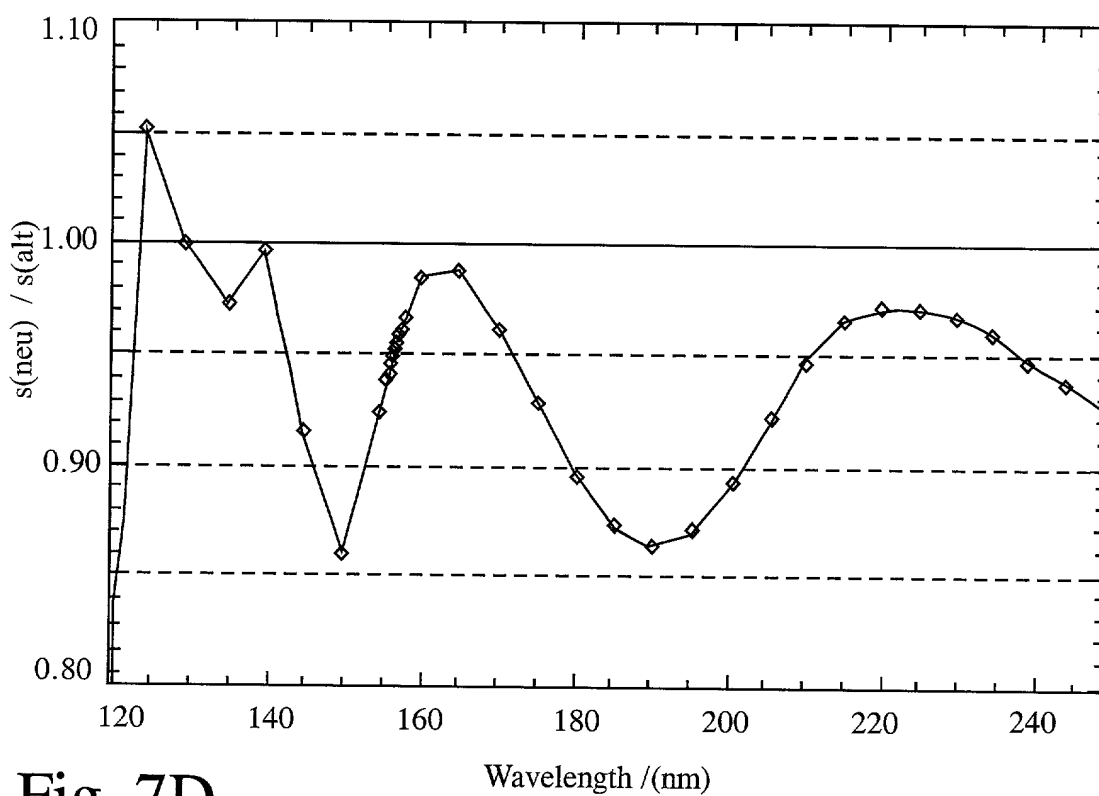


Fig. 7D

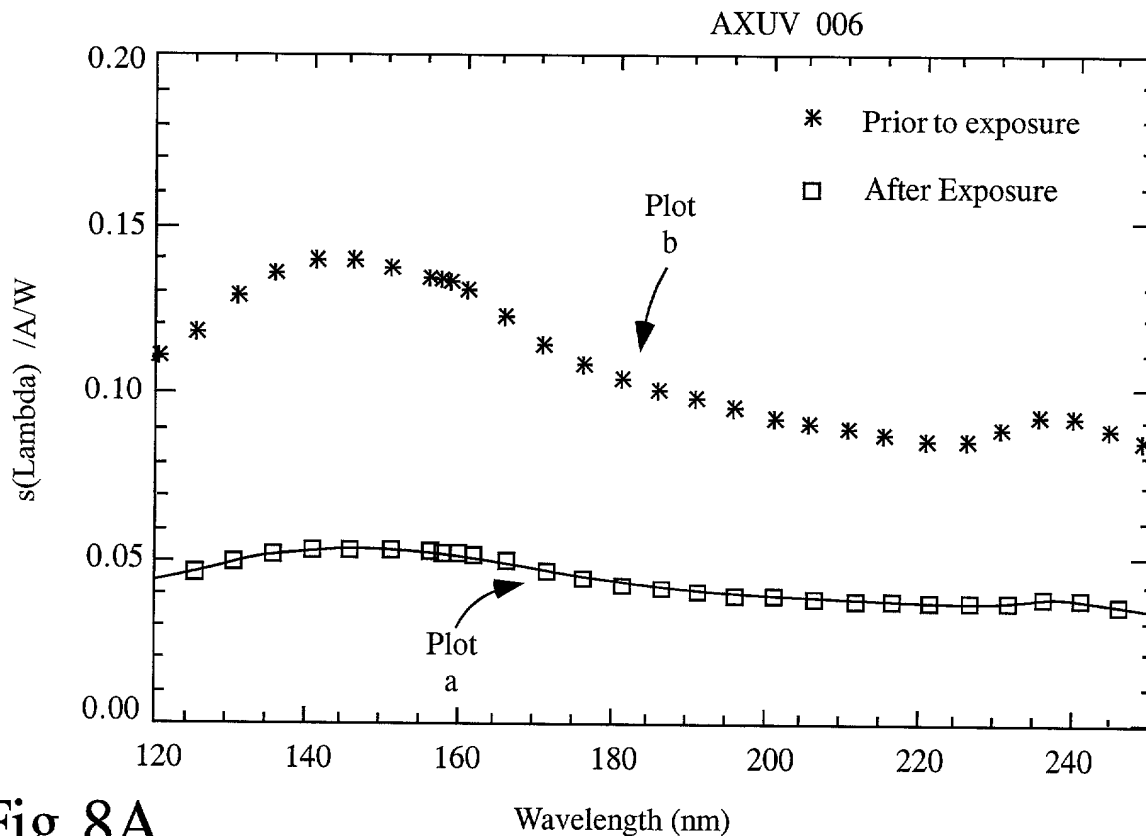


Fig.8A

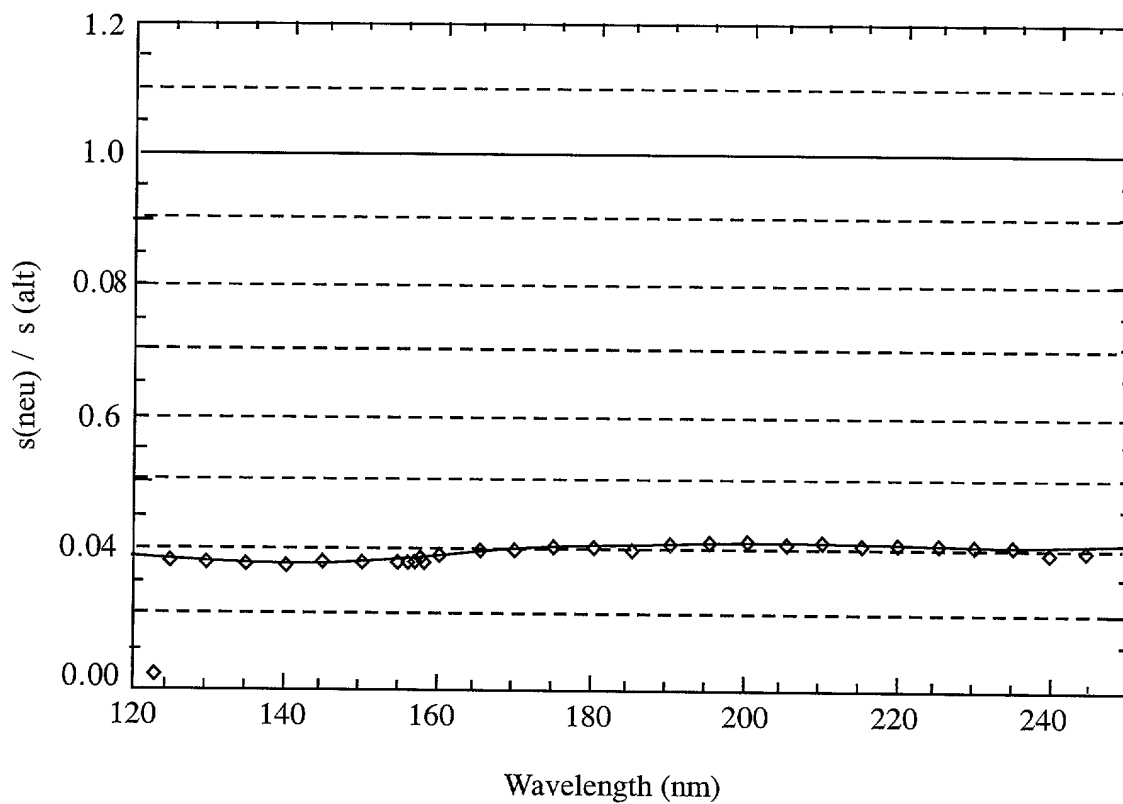


Fig.8B

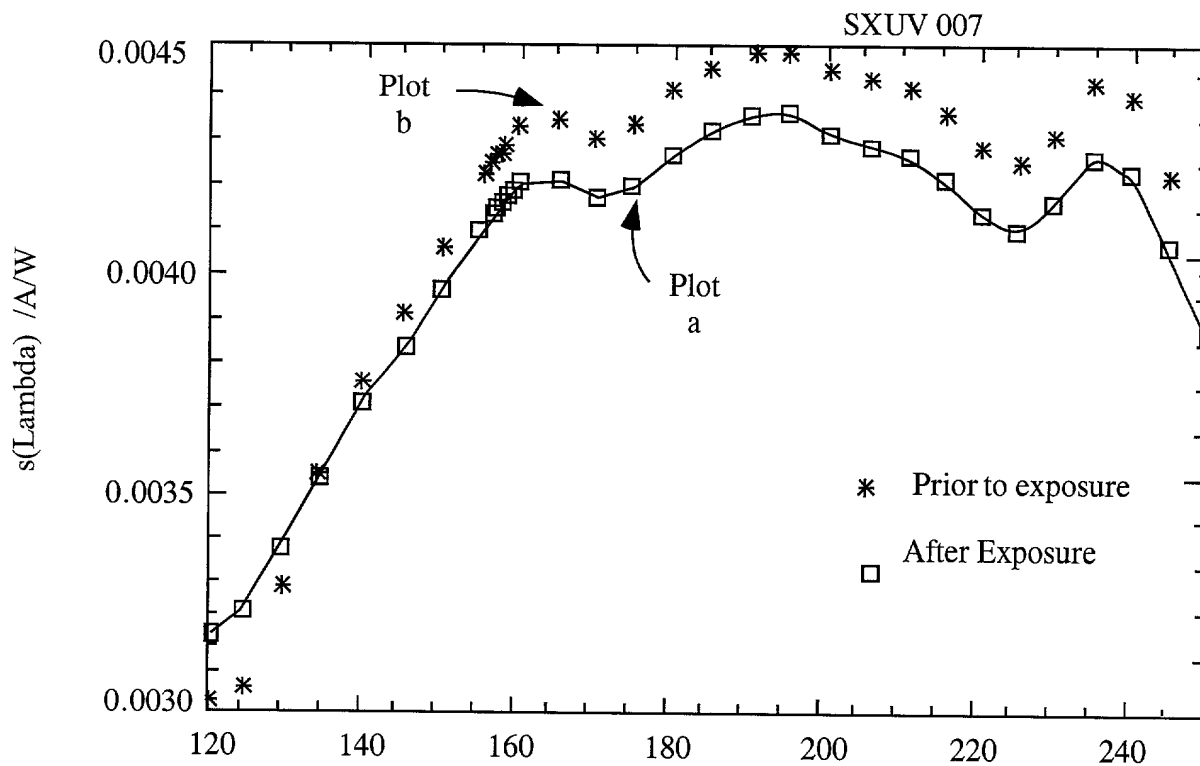


Fig.9A

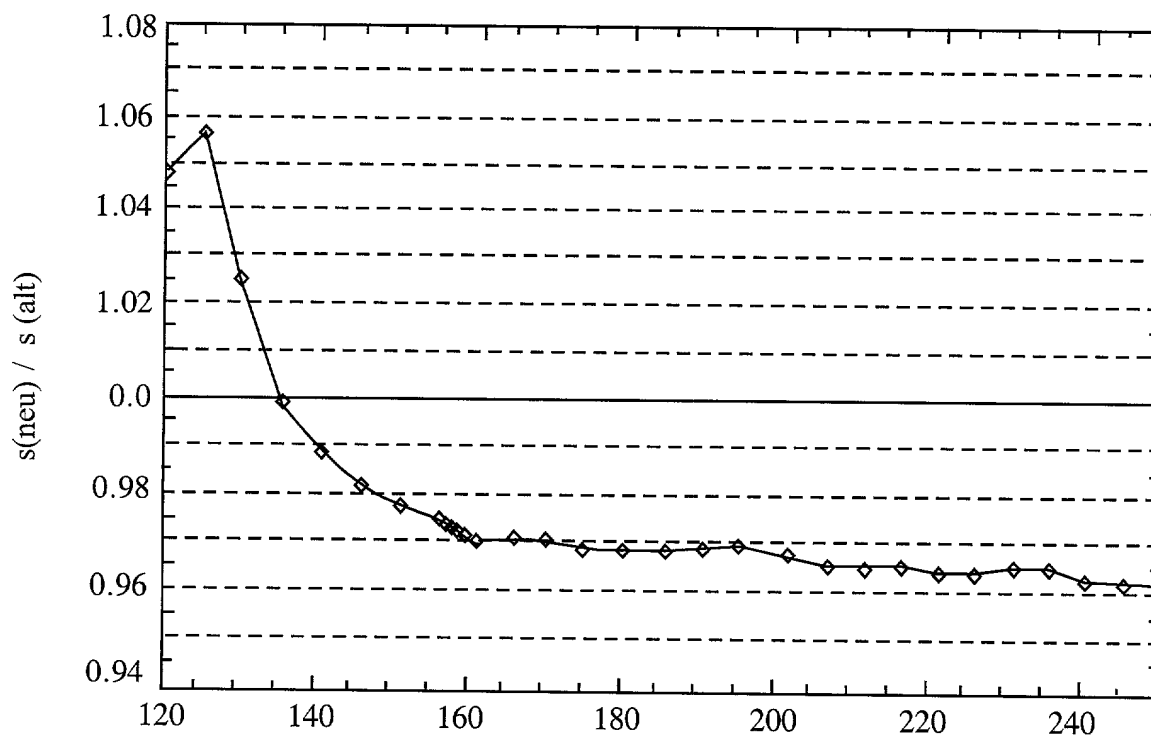


Fig.9B

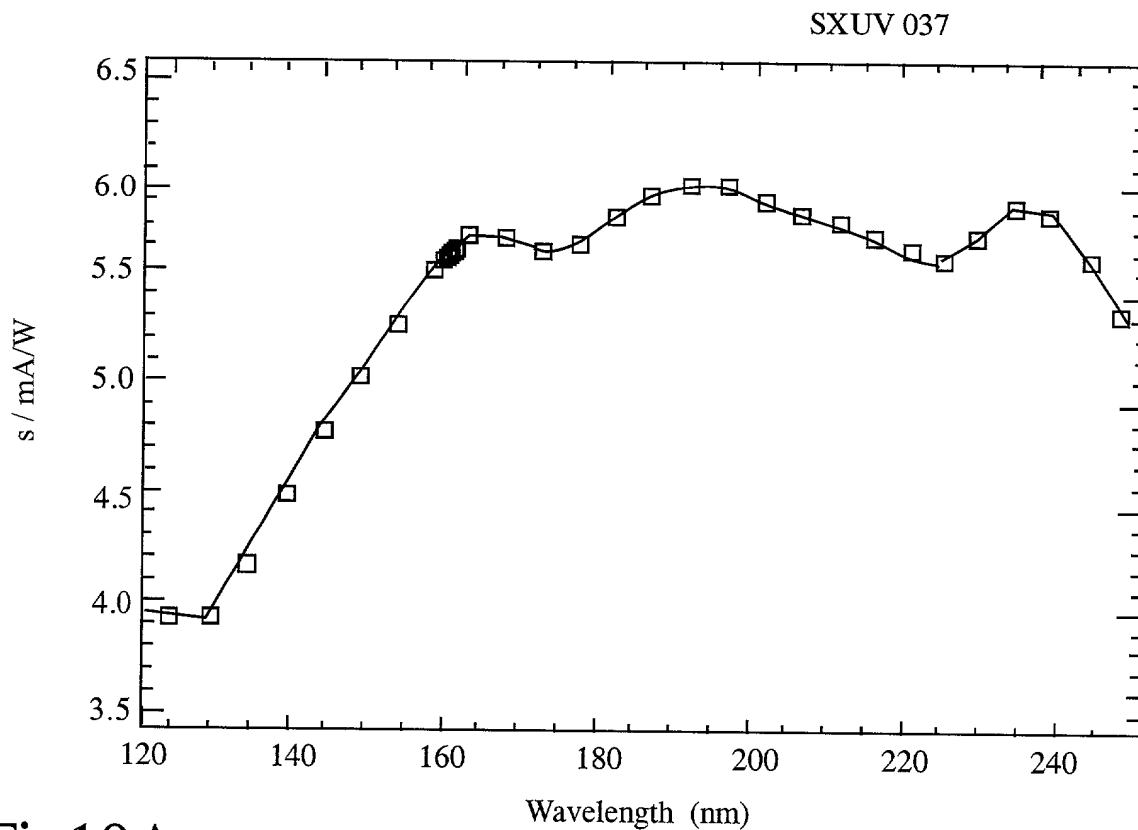


Fig10A

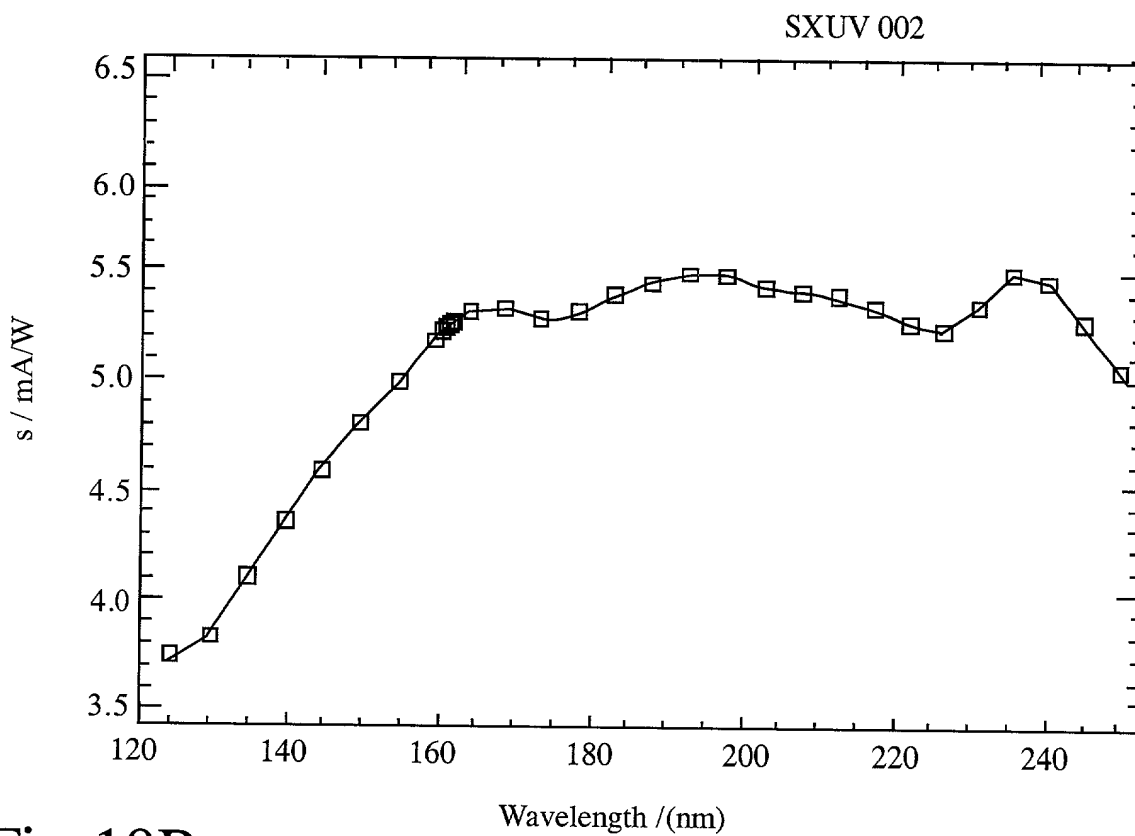


Fig.10B

09/771,013

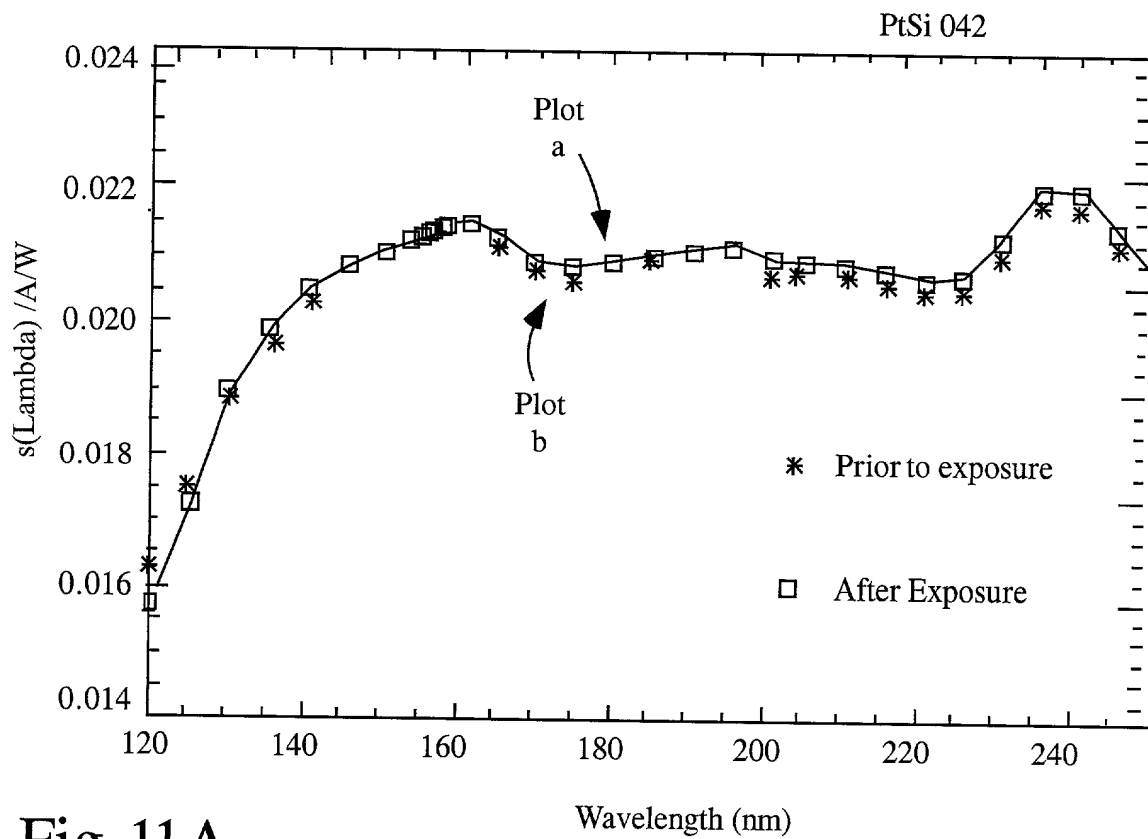


Fig. 11A

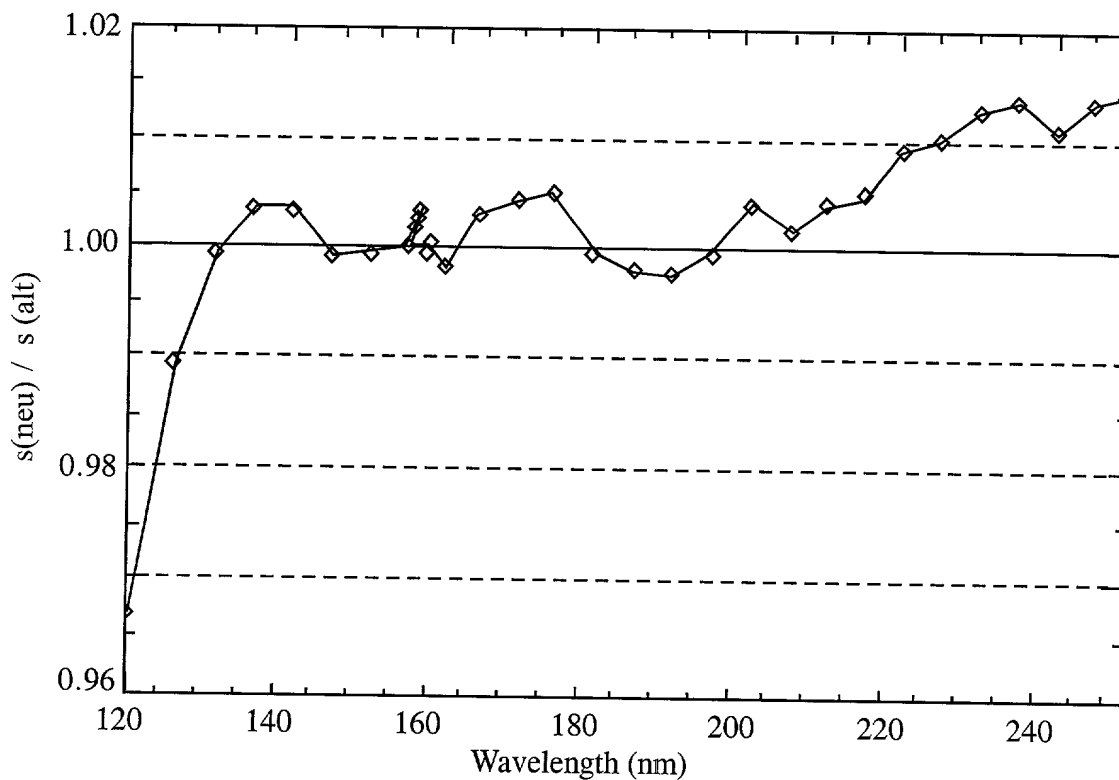


Fig. 11B

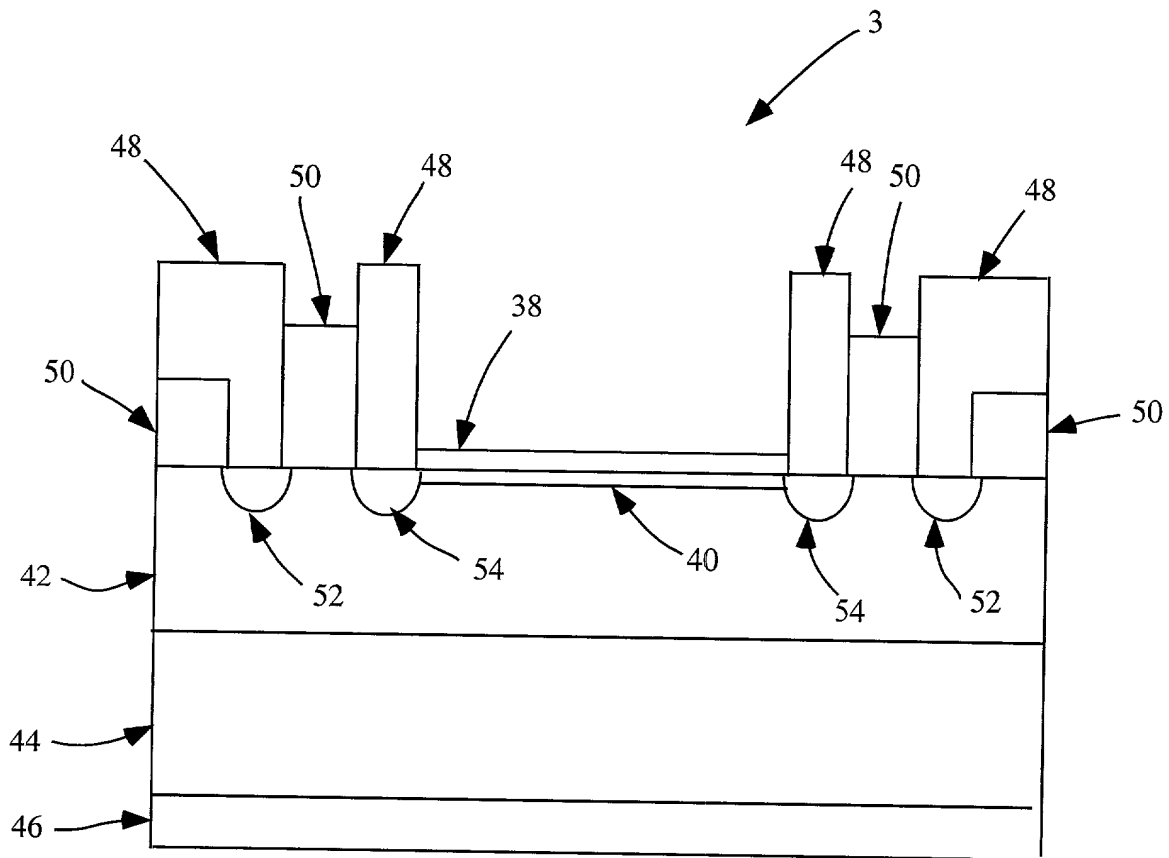
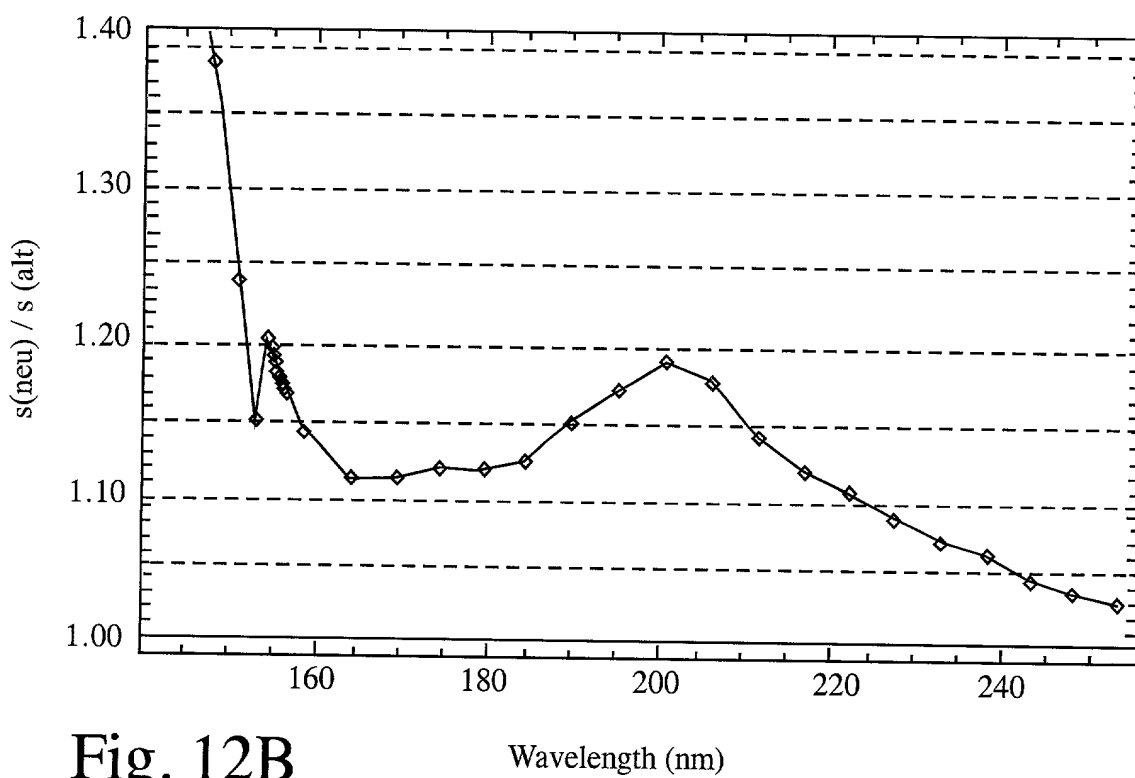
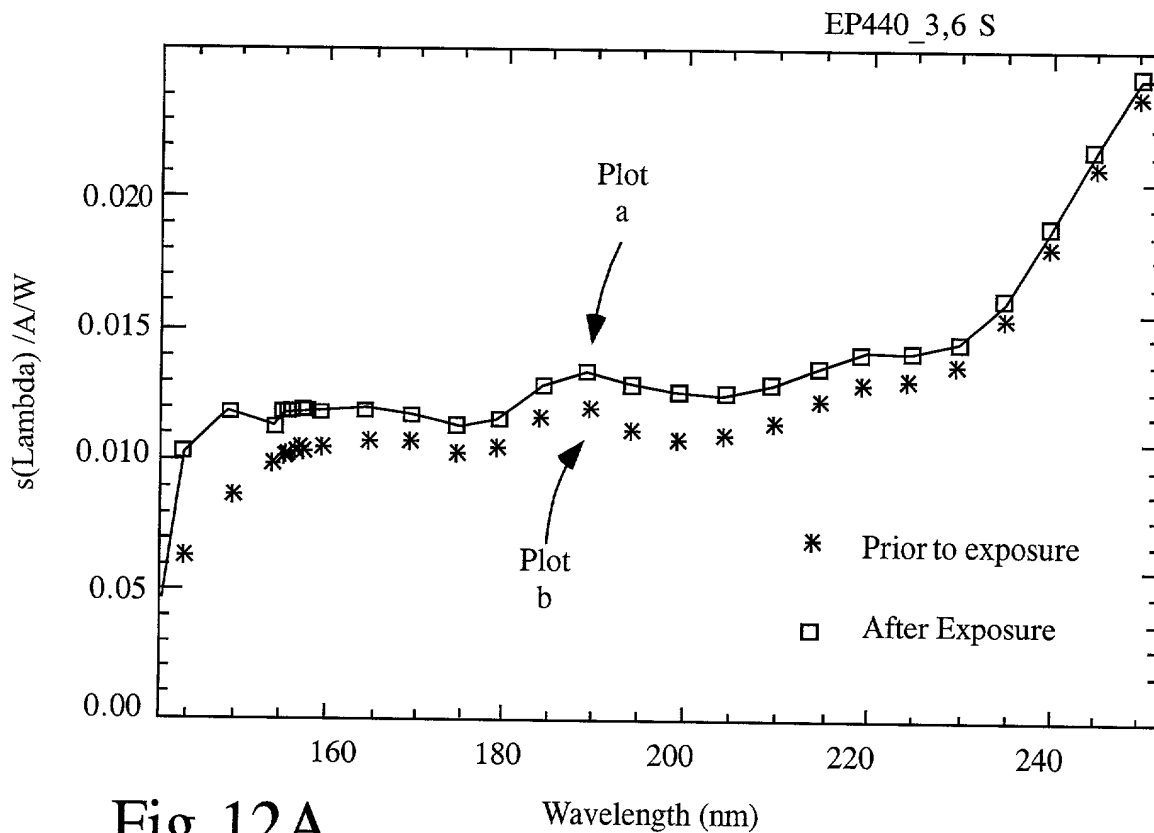


Fig. 11C



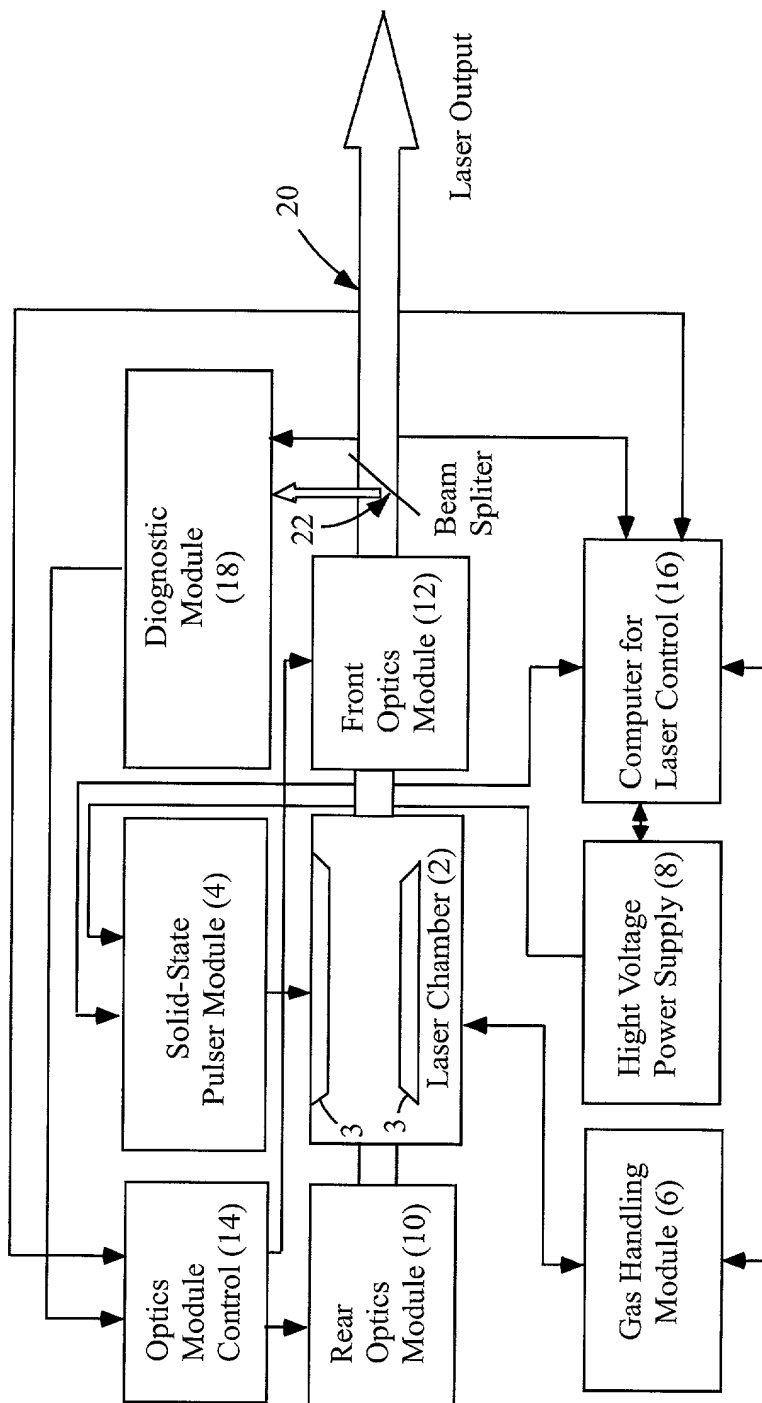


Fig. 13